Schwingungsspektren und Normalkoordinatenanalyse von Bis(trifluormethyl)methylphosphan, -arsan und -stiban $(CF_3)_2ECH_3$ (E=P, As, Sb)

R. DEMUTH, J. APEL und J. GROBE

Eduard Zintl-Institut der Technischen Hochschule, Darmstadt, West Germany

(Received 22 January 1977)

Abstract—The gas phase i.r. and liquid phase Raman spectra of $(CF_3)_2ECH_3$ (E = P, As, Sb) have been studied in detail. The absorption bands are assigned by analogy to $E(CH_3)_3$ and $(CH_3)_2AsX$ (X = Cl, Br) and by a normal coordinate analysis combining the force constants for HCF_3 , $E(CH_3)_3$, and $(CH_3)_2AsX$ according to the LSFF method to give a MVFF. According to the results presented $vE-C(F_3)$ can be considered as "characteristic frequency".

EINFÜHRUNG

In der vorausgegangenen Arbeit [1] wurde über Schwingungsspektren und Normalkoordinatenanalyse der Verbindungen $CF_3E(CH_3)_2$ (E = P, As, Sb) berichtet. Die schwingungsspektroskopische Analyse der Reihe (CF₃)₂ECH₃ rundet frühere Untersuchungen an den Verbindungstypen $(CH_3)_3E$, (CH₃)₂ECF₃ und (CF₃)₃E ab. Die hier beschriebenen Resultate werden in Beziehung zu den früheren Daten gestellt, um Aussagen über Parallelen und Unterschiede zwischen CH₃- und CF₃-Substituenten abzuleiten und die bisher gefundenen schwingungsspektroskopischen Charakteristika der CF₃-Gruppe zu ergänzen. Der Einfluß der CH3-bzw. CF3-Substituenten auf die Donor-Akzeptorfähigkeit der Bindungspartner E ist Inhalt einer photoelektronen-spektroskopischen Untersuchung [2] sowie einer Arbeit über Carbonylkomplexe des Typs Mo(CO)₅L, $Mo(CO)_4L_2$ (cis- u. trans) (M = Cr, Mo, W; $L = (CH_3)_n P(CF_3)_{3-n} [3]$).

EXPERIMENTELLES

Substanzen

Die Verbindungen $(CF_3)_2ECH_3$ (E = P, As, Sb) wurden außer nach den Literaturmethoden von HASZELDINE und WEST [4] zum Teil durch Spaltung von $Y_2(CF_3)_4$, $Hg[P(CF_3)_2]_2$ und $(CH_3)_3SnY(CF_3)_2$ (Y = P, As) dargestellt. Diesen Spaltungsreaktionen sind trotz in der Regel niedriger Ausbeute günstige Syntheseverfahren, da sie mit geringeren Trennproblemen verbunden sind als der Substituentenaustausch bei der Umsetzung von $E(CF_3)_3$ mit CH_3I [2].

Spektren

Die Infrarot-Spektren wurden an den gasförmigen Substanzen in 10 cm-Küvetten mit KBr- bzw. Polyäthylenfenstern im Bereich von 200–4000 cm $^{-1}$ mit einem Gerät Perkin-Elmer 325 bei Drucken zwischen <2 und 80 mbar registriert (Wellenzahlgenauigkeit scharfer Banden besser als \pm 1 cm $^{-1}$).

Die Aufnahme der Raman-Spektren erfolgte an den flüssigen Proben (Kapillaren von 1 mm innerem Durchmesser) mit einem Gerät Cary 82 (Kr⁺-Laser-Anregung, 500 mW bei 647,1 nm; Wellenzahlgenauigkeit ± 2 cm⁻¹; Polarisationszustände qualitativ ermittelt).

ALLGEMEINES

Die Schwingungen der CH₃-Gruppe sind mit Ausnahme von ρCH₃ von den übrigen Molekülschwingungen ausreichend separiert und lassen sich auf der Basis früherer Untersuchungen an (CH₃)₃E [5, 6], $(CH_3)_2AsX$ (X = Cl, Br) [7] und $CF_3E(CH_3)_2$ [1] zuordnen. In der Normalkoordinatenanalyse wird die CH₃-Gruppe nicht im einzelnen erfaßt, sondern hier als Massenpunkt der Masse 15 betrachtet. Tabelle 1 zeigt die Verteilung der 24 Grundschwingungen des (CF₃)₂EC-Teils auf die Rassen a' und a" (C_s-Symmetrie). Wegen zu tiefer Lage sind die beiden Torsionen v_{13} und v_{24} außerhalb des Meßbereiches zu erwarten; außerdem war eine kleinere Anzahl von CF₃-Schwingungen als grundsätzlich möglich zu erwarten, da frühere Untersuchungen [8, 15] fast durchweg C_{3v}-Lokalsymmetrie für die CF₃-Gruppen anzeigten. Für die untersuchten Moleküle liegen bisher keine Strukturuntersuchungen vor, so daß die für die Aufstellung der G-Matrizen benötigten Strukturdaten aus den Werten von $E(CH_3)_3$ [9, 10] und $E(CF_3)_3$ [11] extrapoliert werden mußten (Tabelle 2).

SPEKTREN UND IHRE ZUORDNUNG

Die i.r. und Raman-Daten der Verbindungen (CF₃)₂ECH₃ werden in Tabelle 3 wiedergegeben; typische Spektren sind in den Abbildungen 1 und 2 dargestellt. Die i.r.- und Raman-Frequenzen stimmen gut überein; die geringen Abweichungen sind auf den

Tabelle 1. Grundschwingungen der Moleküle $(CF_3)_2ECH_3$ (E = P, As, Sb)

	a'(Ra p, i.r.)	a"(Ra dp. i.r.)
vas CF3	v ₁ ,v ₂	V: 4-V15
v, CF ₃	v ₃	¥16
δ , CF ₃	ν ₄	v , ,
δ_{as} CF ₃	v 5, v 6	V18, V19
ρ CF ₃	v 7, v 8	v20.v21
v EC ₂	ν _g	v ₂₂
δ EC ₂	v ₁₀	
v EC	v _{1.1}	
δ CEC	v ₁₂	v ₂₃
τ	ν ₁₃	V24

Tabelle 2. Angenommene Geometrie der Verbindungen (CF₃)₂ECH₃ (E = P, As, Sb)

	(CF ₃) ₂ PCH ₃	(CF ₃) _z AsCH ₃	(CF ₃) ₂ SbCH ₃
CF [pm]	134.2	133.6	132.6
kFCF[]	108,5	108,5	108,5
¢FCE į̇̃į	110,5	110,5	110,5
CE [pm]	193,7	205,3	220,2
CE(H ₃) [pm]	187.0	198.0	218.0
kam E[]	100	100	100

Tabelle 3. Infrarot- und Raman-Spektren der Verbindungen (CF₃)₂ ECH₃

· (C	F ₃) ₂ PCH ₃		(CI	F ₃) ₂ AsCH ₃		(0	F ₃) ₂ SbCH ₃	
.r. _{ga} ,	Raffusig	Zuordnung	i.r. _{eas}	Raciussia	Zuordnung	i.r. _{gas}	Rafiussia	Zuordnung
	120 cw.dp	v _{1.2}		105 rw.dp	v, 2		83 vw.dp	v ₁₂
205 m	199 w.dp	v ₂₃		166 w.dp	v ₂₃		140 w.dp	V23
			228 w	231 vw.dp	V ₁₀		196 cw.dp	r ₁₀
251 m	250 w.dp	v20.v21.v10	257 w	260 ες,ρ	V-, V20, V21	228 w	227 s.p	Y-, V20-Y21
282 w	281 rs.p	V-						
357 m	356 w.p	v_8	303 m	300 w.p	V ₈	282 w		V _N
			316 s	317 m,dp	v ₂₂	255 ms	253 m.dp	V _{2.2}
445 s	442 s.p	V9-V22	332 s	336 s.p	V ₉	273 ms	273 m.p	Yu.
532 w	530 w.dp	V18.V19	530		V18.V19	525 s	525 rs.p	v ₁₁ , v ₅ , v ₆ , v ₁₈ , v ₁₉
557 ms	555 w.p	v ₅ ,v ₆	535 } '''	533 w.dp	V5.V6		•	11: 3: 4: 14: 14
709 s	708 US.P	r ₁₁	590 s	591 vs.p	V ₁₀₁			
747 s PQR	743 rs.p	V4.V1=	731 s POR	730 rs.p	v ₄ , v ₁ -	718 s POR	717 s.p	$v_{\mathbf{a}}, v_{1}$
893 ms		2x v ₉	861 ms		ρ CH ₃	793 m	,	
912 ms	910 rw	ρ CH ₃	965 rw		$v_{1} + v_{23}$	865 w		ρCH_3
990 rw		$v_7 + v_{11}$	987 cw		$v_4 + v_7$	975 rw		$v_{20} + v_{22}$
1025 cw		v- + v4	1065 m		V4 + V9	****		120 1 122
112 is PQR?	1110 ew	V ₁₆	1110 rs PQR?	1110 w.dn	r ₁₆	1090 es PQR		V ₁₆
1153 es	1145 w	r ₃	1125 es	1130 cm.p?	r ₃	1108 es	1102 cw	r ₃
1170 rs		V ₁₄ ,V ₁₅	1160 vs		V ₁₄ ,V ₁₅	1135 es		13 14-145
1206 rs	1200 rs	v ₁ ,v ₂	1180 æs	1176 cm	v ₁ ,v ₂	1155 es	1145 cw.p?	v ₄ .v ₂
1286 ms	1200 (.)	$v_4 + v_5$	1270 ms	1277 cw	11.12	1227 m	1224 cw	11.12
1310 ms		•	1290 m	1	δ CH ₃	1375 w	1224 (11	δCH_1
1432 s	1430 rw	δ CH ₃	1425 s	1425 cw	, , , , , , , , , , , , , , , , , , ,	1415 w	1415 rw	f (C ()
1489 rw	1430 1 8	2x v ₄	1448 m	17-2 (%	v ₃ + v ₉	1740 cm	1715 (11	$v_1 + v_8$
1595 EW		$v_{14} + v_{18}$	1835 rw		$v_{16} + v_{17}$	1808 rrw		$v_{16} + v_{17}$
1670 cw			1858 w			1825 rrw		
1858 EW		$v_1 + v_5$	1900 rw		$v_3 + v_4$	2170 m		$v_3 + v_4$
1897 w		v ₁₆ + v ₁ -	2220 m		$v_{14} + v_{17}$	2212 m		$\frac{2 \times v_3}{2 \cdots }$
1953 zw		$v_3 + v_4$	2250 m		2x v ₁₆	2212 m		$2 \times v_1$
2015 w		$v_1 + v_4$	2265 m		2x v ₃			
		$v_{16} + \rho CH_3$	2205 m		$v_{14} + v_{16}$			
2236 m 2263 m		2x v ₁₆						
2290 m		$v_3 + v_{16}$						
2300 m.sh		*14 + *16						
		2x v ₉						
2340 w.b		2x v ₁₄						
2370 w.b	2040	r1 + 1·14	2830 m	2025)	2000	2006)
2848 m	2840 cw.p	}		2825 ew.p	((()	2809 w	2805 cw.p	l
2945 ms	2939 т.р	r CH ₃	2940 ms	2938 m.p	⟩ν CH ₃	2929 s	2928 m,p	γ CH₃
3000 m	3110 rw.b	}	3007 m	3005 vw.dp)	3010 w		J
3020 m		•				3030 w	3025 vw.dp	

unterschiedlichen Aggregatzustand der Substanzen bei der Untersuchung (i.r. gas, Raman flüssig) zurückzuführen.

CF₃-Schwingungen

In den i.r.-Gasspektren werden bei allen 3 Verbindungen wie erwartet nur 4 CF-Valenzschwingungen gefunden. Ihre Lage entspricht weitgehend den bei (CF₃)₂EH [12, 13] ermittelten Werten (Angaben in cm⁻¹):

Tabelle 4. Vergleich der CF-Valenzschwingungen von $(CF_3)_2ECH_3$ und $(CF_3)_2EH$ (E=P, As, Sb)

(CF ₃) ₂ ECH ₃ :	P/As/Sb	(CF ₃) ₂ EH:	P/As/Sb
ν _m CF ₃ (ν ₁ ,ν ₂)	1206/1180/1155		1212/1190/1154
v_{a} CF ₃ (v_{14}, v_{15})	1170/1160/1135		1180/1170/1145
v ₂ CF ₃ (v ₃)	1153/1125/1108		1144/1135/1095
v _s CF ₃ (v ₁₆)	1112/1110/1090		1129/1122/1083

Die CF-Wellenzahlen nehmen mit steigender Masse des E-Atoms ab, d. h. die CF-Valenzkraftkonstanten werden in der Reihe P > As > Sb kleiner (vgl. Normalkoordinatenanalyse). Einen entsprechenden Gang zeigen $\delta_s CF_3$ (747 cm⁻¹/731 cm⁻¹/718 cm⁻¹) und weniger deutlich ausgeprägt auch δ_{as}CF₃. Die Entartung der CF₃-Schwingungen ist auch bei den Deformationsschwingungen nicht aufgehoben. Die Zuordnung der ρCF₃-Schwingung bereitet erfahrungsgemäß Schwierigkeiten, da sie stark mit anderen Schwingungen koppelt und dadurch zum Teil beträchtliche Frequenzverschiebungen erfährt. Neben der Aussage der Normalkoordinatenanalyse ist die meist hohe Raman-Intensität der symmetrischen ρ -Schwingung ein gutes Zuordnungskriterium. Die nach diesen Gesichtspunkten getroffene Zuordnung (Tabelle 3) zeigt auch für ρCF₃ den erwarteten Gang P > As > Sb.

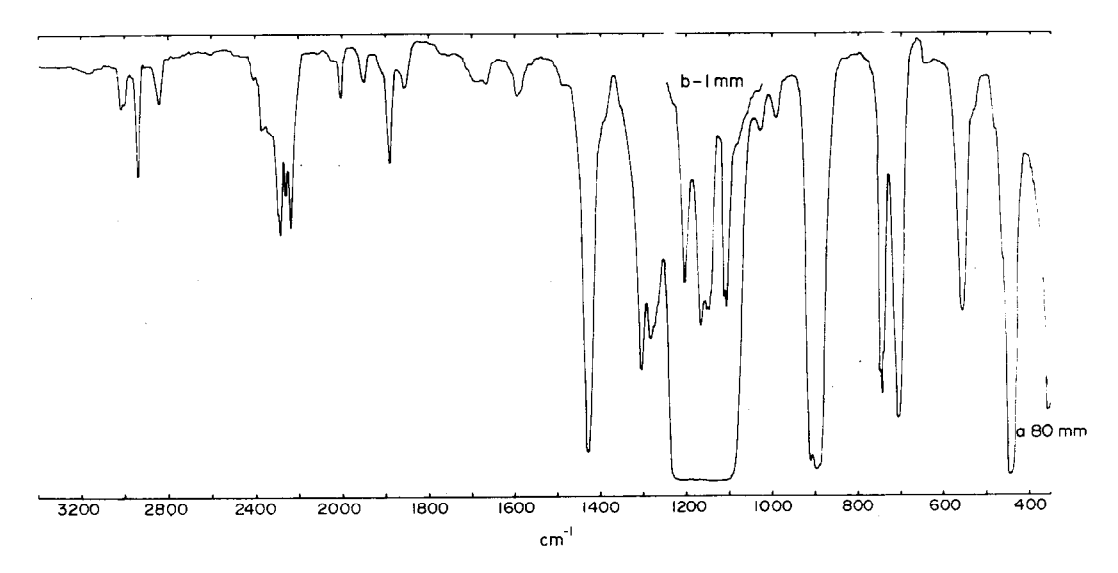


Abbildung 1. i.r.-Spektrum von (CF₃)₂PCH₃

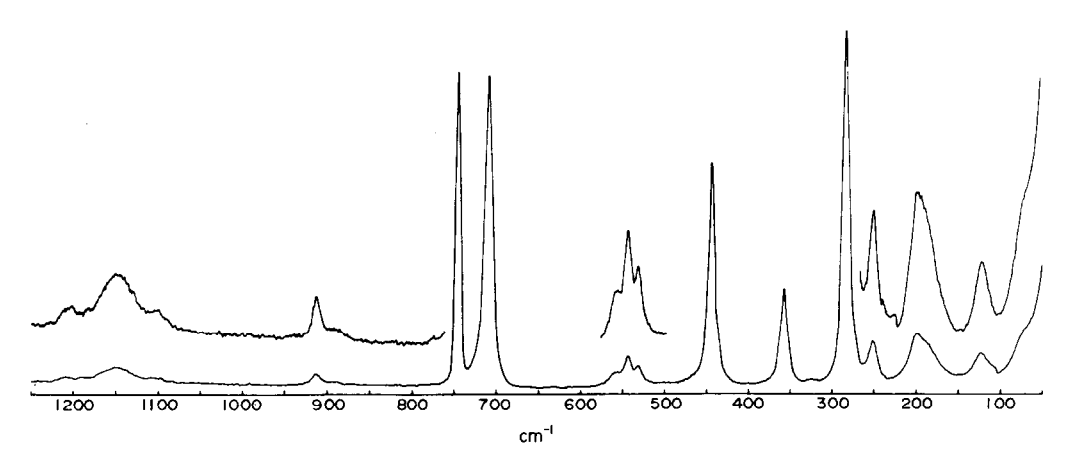


Abbildung 2. Ramanspektrum von (CF₃)₂PCH₃

EC-Valenz- und Deformationsschwengungen

Für die F₃C-E- und die H₃C-E-Valenzschwingungen wurde in einer ganzen Reihe von Untersuchungen eine erstaunliche Lagekonstanz nachgewiesen (Tabelle 5). v₉ und v₂₂ sind darüber hinaus auf Grund ihrer hohen i.r.-Intensität (Raman: mittel bis stark) gut zu erkennen; da die Polarisationszustände eindeutig zu ermitteln waren, ist die Zuordnung zu den Rassen a' und a" eindeutig. Die EC-Valenzschwingungen (Tabelle 5) der CF₃-Verbindungen des Phosphors, Arsens und Antimons eignen sich gut als "Leitfrequenzen" für ähnliche Moleküle, obwohl sie in der symmetrischen Rasse wegen der besonderen Kopplungsmöglichkeiten keine "reinin" vEC-Schwingungen darstellen. v_s und v_{as} sind in der Regel nur im Fall der Phosphorverbindung nicht separiert, beim Arsan und Stiban ist vas um etwa 20 cm⁻¹ gegenüber v, zu tieferen Wellenzahlen verschoben.

Ebenso eindeutig wie die E-CF₃-Schwingungen ist auch ν E-CH₃ (ν _{1,1}) als im i.r.- und Raman-Spektrum

sehr intensive (polarisierte) Bande zu lokalisieren. Ihre Lage fügt sich mit 709/590/525 cm $^{-1}$ gut in die Reihe vergleichbarer Verbindungen (s. Tabelle 5) ein. In den Spektren aller drei Verbindungen erscheinen als die energieärmsten beobachteten Banden die drei Deformationsschwingungen δEC_2 (ν_{10}) und δCEC (ν_{12} und ν_{23}). Die jeweils energiehöchste der drei Absorptionen wird der δ EC₂-Schwingung zugeordnet. Wie bei den anderen (CF₃)₂E-Verbindungen stützt die Normalkoordinatenanalyse die Zuordnung $\nu_{23} > \nu_{12}$, weil nur so physikalisch sinnvolle Kraftkonstantensätze resultieren. Die ermittelten Deformationskraftkonstanten δEC_2 sind mit in die Tabelle 8 aufgenommen; sie stimmen mit bisher errechneten Werten vergleichbarer Verbindungen gut überein.

NORMALKOORDINATENANALYSE

Die Normalkoordinatenanalyse wurde nach der Wilson'schen FG-Matrix-Methode auf der Basis der

Tabelle 5. Vergleich von EC-Valenzschwingungen [cm ⁻¹]; die Frequenzen der ECH ₃ -
Schwingungen sind in Klammern () angegeben; X = Halogen.

	E = P		E =	= As	E = Sb	
	V _x	V _{as}	V _s	V _{as}	v,	V _{as}
CF ₃ EX ₂ [14]	~ 4	25	~ 3	15		
CF3EH2 [15]	4	19	3	10		_
CF ₃ E(CH ₃) ₂ [1]	424 314		14	2	59	
	(679)	(722)	(581)	(592)	(5	22)
(CF ₃) ₂ EX [16]	~ 442	~442	~ 335	~ 320	~ 272	~ 252
(CF ₃) ₂ EH [12, 13]	440	440	333	320	273	253
(CF ₃) ₂ EMn(CO) ₅ [17]	445	445	335	312	_	
(CF ₃) ₂ ESi(CH ₃) ₂ [18]	443	443	333	329		
(CF ₃) ₂ EE(CF ₃) ₂ [19]	451	444	44 337 313			
(CF ₃) ₂ ECH ₃	445	445	332	316	273	255
	(7	09)	(5	90)	(5	25)
X ₂ ECH ₃ [8, 20, 21]	(685)		(577)			
H ₂ ECH ₃ [22, 23]	(680)		(585)			
(CF ₃) ₃ E [24]	450	470	349	337	286	269
(CH ₃) ₃ E [6, 7, 25]	(652)	(708)	(572)	(584)	(5	13)

in Tabelle 2 aufgeführten geometrischen Daten durchgeführt. Die G-Matrizen wurden dabei mit einem Rechenprogramm [26], die Kraftkonstanten von HCF₃ [27] und E(CH₃)₃ [5,6] bzw. (CH₃)₂AsX (X = Cl, Br) [7] nach dem Prinzip des LSFF zu einem MVFF zusammengefaßt. Diese Ausgangslösungen der F-Matrix wurden unter Berücksichtigung folgender Kriterien bis zur Frequenzangleichung modifiziert: Die Schwingungskopplung innerhalb der CF₃-Gruppe sollte weitgehend unabhängig sein vom 4. Substituenten am C-Atom; es ist deshalb gerechtgertigt, die Wechselwirkungskraftkonstanten von CF₃H [27] praktisch unverändert in den Kraftkonstantenansatz eines CF₃E-Moleküls einzubringen. Anderungen der Kraftkonstantenansätze werden insbesondere an der "Nahtstelle" C-E-Bindung vorgenommen. Für $G_{ij} = 0$ wurde auch $F_{ij} = 0$ gesetzt; die Zahl der von Null verschiedenen Nebendiagonalglieder wurde möglichst klein gehalten. Kraftkonstanten gleicher Bedeutung wurden in beiden Rassen möglichst gleich gewählt. Die Potentialenergieverteilung für die einzelnen Schwingungen sollte sinnvolle

Tabelle 6. Von Null verschiedene, auf 100 pm abstandsnormierte Symmetriekraftkonstanten [10²N⋅m⁻¹]

$F_{ij}; ij =$	(CF ₃) ₂ PC	(CF ₃) ₂ AsC	(CF ₃) ₂ SbC
11	5,28	5,20	5.05
33	7,50	7,58	7,70
44	1,77	1,65	1.60
55	1,73	1,58	1,50
77	0,75	0,72	0,58
99	2,90	2,70	2,10
1010	0,84	0,75	0,67
1111	2,92	2,55	2.16
1212	0,45	0.40	0.35
1414	5,15	5.05	4,92
1616	7,25	7 .47	7,64
1717	1.87	1,78	1,67
1818	1.58	1,55	1,50
2020	0,70	0,78	0,63
2222	2.08	2,00	1,55
2323	0,65	0,45	0,40
79	0.10	0,10	0.05
710	-0.10	-0.05	. —
910	0,05	0,05	
2022	0,10	_	-

Konstant: $F_{15} = F_{1418} = -0.50$; $F_{17} = F_{1420} = 0.50$; $F_{34} = F_{1617} = 0.65$; $F_{39} = F_{1622} = 0.25$; $F_{49} = F_{1722} = -0.48$; $F_{1012} = -0.10$.

[28] und mit vergleichbaren Verbindungen weitgehend übereinstimmende Werte ergeben.

In Tabelle 6 sind die von Null verschiedenen Symmetriekraftkonstanden, in Tabelle 7 beobachtete und berechnete Schwingungen einschließlich ihrer Potentialenergieverteilung aufgeführt.

DISKUSSION

Tabelle 8 stellt CF- und EC-Kraftkonstanten einiger Verbindungen zusammen; die vorliegenden Daten lassen einige interessante Trends erkennen: (1) Die CF-Valenzkraftkonstante steigt mit steigender Zahl der CF₃-Gruppen (bei Phosphor-, Arsen- und Antimonverbindung völlig gleichartig) an, unabhängig davon, ob Wasserstoff oder CH₁-Gruppen als weitere Substituenten an das E-Atom gebunden sind. Dieser Befund stimmt mit den bei den Stoffklassen CF_3EX_2 (X = Halogen) [14] und (CF_3)₂EX [16] bzw. CF_3GeX_3 (X = Halogen) [29] und (CF₃)₂GeX₂ [30] erzielten Ergebnissen völlig überein. Der Effekt isttrotz seiner geringen Größe-signifikant, da die Berechnungen auf der Grundlage identischer Ausgangskraftselder ersolgte. Dieses Ergebnis läßt sich mit der Annahme hyperkonjugativer Einflüsse innerhalb der CF₃-Gruppe ("double bond-no bond resonance" [31, 32, 33]) erklären, die mit steigender Zahl der CF₃-Gruppen an Gewicht gewinnen und zu steigenden CF-Kraftkonstanten führen. (2) Bei den C-E-Kraftkonstanten ist zwischen H₂C-E- und F₃C-E-Gruppierungen zu unterscheiden. Generell liegen die F₃C-E-Kraftkonstanten unter den Werten für H₃C-E-Bindungen. Die Substitution eines CH₃- durch einen CF3-Rest verändert den Wert der H3C-E-Kraftkonstanten nicht, läßt jedoch f (F₃C-E) in der Reihe $CF_3EX_2 < (CF_3)_2EX < (CF_3)_3E (X = H, CH_3)$ ziemlich stetig ansteigen. Ein Vergleich der Daten für $(CF_3)_n EH_{3-n}$ und $(CF_3)_n E(CH_3)_{3-n}$ (n = 1-3) erscheint trotz der erheblichen Kopplung der F₃C-E-Schwingungen mit anderen Schwingungsformen zulässig, wenn man für beide Verbindungsreihen analoge Weschselwirkungskraftkonstanten verwendet.

Für diesen Befund spricht auch die Frequenzlage der näherungsweise als vE-CF₃ zu bezeichnenden

Tabelle 7. Beobachtete und berechnete Frequenzen [cm $^{-1}$] und ihre Potentialenergieverteilung $V(k)^*$

	$v_{ m beob}$	Vherechnet	Potentialenergieverteilung
(CF ₃) ₂ PCH ₃	1206	1201	98 (1), 22 (5)
(C1 3)21 C113	1153	1154	61 (3), 51 (4), 26 (9)
	747	747	40 (4), 35 (3), 13 (9)
	557	554	78 (5)
	282	289	72 (7), 17 (12)
	442	438	56 (9), 15 (4), 14 (10)
	251	252	55 (10), 13 (7), 16 (12)
	709	709	92 (11)
	120	122	66 (12), 32 (10)
		1171	100 (14), 20 (18)
	1170		64 (16), 59 (17), 19 (22)
	1112	1119	43 (17), 40 (16)
	743	738	
	532	532	81 (18)
	250	249	82 (20), 18 (23)
	445	447	65 (22)
	199	199	72 (23), 14 (22), 17 (20)
CF ₃)₂AsCH ₃	1180	1180	100 (1), 20 (5)
	1125	1127	69 (3), 48 (4), 23 (9)
	731	731 .	47 (4), 34 (3), 13 (9)
	533	534	81 (5)
	260	263	92 (7)
	332	328	66 (9), 12 (4)
	228	228	54 (10), 27 (12)
	590	590	99 (11)
	105	102	72 (12), 37 (10)
	1160	1159	100 (14), 20 (18)
	1110	1111	71 (16), 54 (17), 17 (22)
	731	732	51 (17), 34 (16)
	530	529	82 (18)
	257	256	91 (20)
	316	317	77 (22)
	166	165	96 (23)
			100 (1) 30 (5)
(CF ₃) ₂ SbCH ₃	1155	1154	100 (1), 20 (5)
	1108	1101	78 (3), 46 (4), 17 (9)
	718	718	59 (4), 26 (3), 12 (9)
	525	526	60 (5), 27 (11)
	228	231	86 (7)
	273	273	72 (9)
	196	197	47 (10), 29 (12)
	525	524	72 (11), 23 (5)
	83	83	75 (12), 41 (10)
	1135	1136	100 (14), 20 (18)
	1190	1185	80 (16), 48 (17), 12 (22)
	718	716	65 (17), 24 (16)
	525	524	82 (18)
	228	227	93 (20)
	256	255	81 (22)
	140	140	95 (23)

^{*} Potentialenergieverteilung der Form: $V(k) = F_{\text{dia}} \cdot L_{ik2} \cdot 100/\Sigma_{ij} F_{ij} \cdot L_{ik} \cdot L_{jk}$ für V(k) > 10.

Tabelle 8. Vergleich von Kraftkonstanten [10² N·m⁻¹]

	∫ EC (CF ₃)	f EC/EC' (CF ₃)	f EC (CH ₃)	f EC/EC' (CH ₃)	δ EC ₂ (CF ₃)	δ EC ₂ (CH ₃)	f CF	f CF/CF
CF,PH, [15]	2,58		_		_		5,82	0,82
(CF35PH [12]	2,76	0,26	_	_	0,23		5,86	0,76
(CF ₃) ₃ P [24]	2.86	0.27	_		0,20	-	6,04	0,85
(CF ₃) ₂ PCH ₃	2,49	0.37	2,92	_	0,21	_	5,93	0,72
CF ₃ P(CH ₃) ₂ [1]	2,30	_	2,90	-0.05	_	0,21	5,87	0.75
P(CH ₃) ₃ [6, 7]	-	_	2,91	-0.03	-	0,26	_	_
CF3AsH2 [15]	2,25				_	_	5,88	0.90
(CF ₃) ₂ AsH [12]	2,50	0,30		_	0,17		5,90	0,82
(CF ₃) ₃ As [24]	2,50	0,45	_	_	0,17	_	6,03	0,85
(CF ₃) ₂ AsCH ₃	2,35	0,35	2,55	_	0,18		5,93	0,80
CF3As(CH3)2 [1]	2,10		2,53	0,01		0,21	5,87	0,89
As(CH ₃) ₃ [6, 7, 25]	_		2,56	-0.01	-	0,19		_
(CF ₃) ₂ SbH [13]	1,84	0,24	_		0,14	_	5.84	0,84
(CF ₃) ₃ Sb [24]	2,01	0,23			0,13	_	5,97	0,88
(CF ₃)₂SbCH ₃	1,80	0,23	2,16		0,15		5,87	0.89
$CF_3Sb(CH_3)_2$ [1]	1,75	_	2,15	0,04	_	0,16	5,79	0,87
Sb(CH ₃) ₃ [6]	_		2,18	0,00		0,17	_	

Schwingungen: Wie Tabelle 5 zeigt, liegt vEC2 praktisch unabhängig vom weiteren Substituenten am E-Atom höher als vEC bei den Monotrifluormethylverbindungen, vEC₃ wiederum bei höheren Wellenzahlen als vEC₂. Als Erklärung bietet sich die Annahme hyperkonjugativer Einflüsse an [30], die die EC-Bindungen mit steigender Zahl von CF₃-Gruppen verstärken. Wie auch CNDO-Rechnungen [34] zeigen, tritt die mit steigender Zahl von CF₃-Gruppen erwartete Zunahme der positiven Partialladung am P-Atom nicht auf, sondern bleibt in der Reihe CF₃PH₂, (CF₃)₂PH, (CF₃)₃P praktisch konstant. Die bindenden σP-C-Orbitale sind mit steigender Anzahl von CF₃-Gruppen weniger stark am C-Atom lokalisiert und verstärken dadurch ingsgesamt die PC-Bindung. Die Kraftkonstante der P-CH₃-Gruppierung wird allerdings auch in den Tris(trifluormethyl)-Verbindungen nicht erreicht. Dieser an sich überraschende Befund, daß CF₃-E-Bindungen (E = P, As, Sb) länger und schwächer sind als CH₃-E-Bindungen, ist inzwischen auch theoretisch begründet worden [35, 36].

LITERATUR

- [1] R. DEMUTH, J. APEL und J. GROBE, Spectrochim. Acta 34A, 357 (1978).
- [2] J. APEL, Dissertation, TH Darmstadt (1977).
- [3] J. APEL, R. BACHER und J. GROBE, J. Organometal. Chem. (in Vorbereitung).
- [4] R. N. HASZELDINE und B. O. WEST, J. Chem. Soc. 3631 (1956); J. Chem. Soc. 3880 (1957).
- [5] H. SIEBERT, Z. Anorg. Allg. Chem. 273, 161 (1953).
- [6] G. BOUQUET und M. BIGORGNE, Spectrochim. Acta 22, 2103 (1966).
- [7] E. G. CLAEYS und G. P. VAN DER KELEN, Spectrochim. Acta 22, 2103 (1966).
- [8] S. Elbel, H. Tom Dieck und R. Demuth, Z. Naturforsch. 31b, 1472 (1976).
- [9] L. S. BARTELL und L. O. BROCKWAY, J. Chem. Phys. 32, 512 (1960).

- [10] H. D. SPRINGALL und L. O. BROCKWAY, J. Am. Chem. Soc. 60, 996 (1938).
- [11] H. I. M. BOWEN, Trans. Faraday. Soc. 50, 463 (1954).
- [12] H. BÜRGER, J. CICHON, J. GROBE und R. DEMUTH, Spectrochim. Acta 29A, 47 (1973).
- [13] P. DEHNERT, R. DEMUTH und J. GROBE, Spectrochim. Acta (im Druck).
- [14] H. BÜRGER, R. EUJEN und R. DEMUTH, Spectrochim. Acta 31A, 1955 (1975).
- [15] H. BÜRGER, J. ČICHON, R. DEMUTH und J. GROBE, Spectrochim. Acta 29A, 943 (1973).
- [16] R. DEMUTH, Z. Anorg. Allg. Chem. 418, 149 (1975).
- [17] R. DEMUTH, J. GROBE und R. RAU, Z. Naturforsch. 30b, 539 (1975).
- [18] H. BÜRGER, J. CICHON, R. DEMUTH, J. GROBE und F. HÖFLER, Spectrochim. Acta 30A, 1977 (1974).
- [19] H. BÜRGER, J. CICHON, R. DEMUTH, J. GROBE und F. HÖFLER, Z. Anora, Alla, Chem. 396, 199 (1973).
- F. HÖFLER, Z. Anorg. Allg. Chem. **396**, 199 (1973). [20] J. R. DURIG und J. E. SAUNDERS, J. Mol. Struct. **27**, 403 (1975).
- [21] L. MAIER, Helv. Chim. Acta 46, 2026 (1963).
- [22] A. B. HARVEY und M. K. WILSON, J. Chem. Phys. 44, 3535 (1966).
- [23] J. A. LANNON und E. R. NIXON, Spectrochim. Acta 23A, 2713 (1967).
- [24] H. BÜRGER, J. CICHON, J. GROBE und F. HÖFLER, Spectrochim. Acta 28A, 1275 (1972).
- [25] E. G. CLAEYS und G. P. VAN DER KELEN, Spectrochim. Acta 22, 2095 (1966).
- [26] P. PULAY, G. BOROSSAY und F. TÖRÖK, J. Mol. Struct. 2, 336 (1968); P. PULAY und W. SAWODNY, J. Mol. Spectry 26, 150 (1968).
- [27] A. RUOFF, H. BÜRGER und S. BIEDERMANN, Spectrochim. Acta 27A, 1377 (1971).
- [28] H. BECHER, Fortschr. Chem. Forsch. 10, 156 (1968).
- [29] H. BÜRGER und R. EUJEN, Spectrochim. Acta 31A, 1645 (1975).
- [30] H. BÜRGER und R. EUJEN, Spectrochim. Acta 31A, 1655 (1975).
- [31] J. HINE, J. Am. Chem. Soc. 85, 3239 (1963).
- [32] E. A. C. LUCKEN, J. Chem. Soc. 2954 (1959).
- [33] J. F. A. WILLIAMS, Tetrahedron 18, 1477 (1962); Trans. Faraday Soc. 57, 2089 (1961).
- [34] S. Elbel, Dissertation, Universität Frankfurt/Main (1974).
- [35] H. OBERHAMMER, J. Mol. Struct. 28, 349 (1975).
- [36] C. J. MARSDEN und L. S. BARTELL, Inorg. Chem. 15, 2713 (1976).